

УДК 534.221

ВЫСОКОТЕМПЕРАТУРНЫЕ АКУСТИЧЕСКИЕ АНОМАЛИИ И СУПЕРИОННАЯ ПРОВОДИМОСТЬ В МНОГОКОМПОНЕНТНЫХ ФОСФАТНЫХ СТЕКЛАХ

Ю. В. Илисавский, Л. А. Кулакова

Исследовано поглощение гиперзвуковых волн (30 МГц—1.5 ГГц) сеткой и подвижными ионами лития щелочно-ниобиевофосфатных стекол в интервале температур 10—400 К. Все особенности поглощения объяснены в рамках обобщенной модели системы дефектов, описываемых двухъярусным потенциалом. Определены параметры системы дефектов сетки стекла и подвижных ионов лития.

В $[1^{-5}]$ было обнаружено специфическое поведение тепловых (теплопроводность, теплопроводность) и акустических свойств стекол при низких ($T \leq 1$ К) температурах, отличающееся от типичного для кристаллов. При этом основные особенности низкотемпературного поведения стекол имели общий характер, т. е. не зависели от их состава. Эти результаты стимулировали интенсивное теоретическое и экспериментальное изучение стекол, результатом которого явилось развитие модели двухуровневых туннелирующих систем (ДУТС) $[6, 7]$, наиболее удачным образом объяснившей низкотемпературные особенности стекла. Позднее было показано, что и в области более высоких температур (вплоть до $T \approx 100$ К) поведение стекол в отношении ряда свойств, в частности акустических, также характеризуется наличием специфических черт $[8-10]$. Интерпретация этих особенностей не имеет пока однозначного характера: используются модель ДУТС $[9, 10]$, ее дальнейшее развитие с включением двухфононных процессов $[11]$, многофононных процессов $[12]$, модель квазилокальных гармонических колебаний $[13, 14]$, термоактивационная модель $[15-19]$ и др.

Экспериментальные исследования акустических свойств стекол в области средних и высоких температур затруднены большой величиной поглощения. Поэтому имеющиеся данные обычно ограничены областью либо низких температур, либо высоких частот.

Важной разновидностью стекол являются стекла с суперионной проводимостью, или твердые электролиты. Подвижные ионы легко диффундируют сквозь сетку такого стекла, и поэтому уже при комнатной температуре возникает значительная ионная проводимость. Интерес к суперионным стеклам в последнее время возрос не только из-за технических применений, но и вследствие стремления понять динамику поведения подвижных ионов в неупорядоченных средах.

В данной работе изложены результаты изучения акустических свойств ниобиевофосфатных стекол системы $(M_2O)_x(P_2O_5)_y(Nb_2O_5)_{1-x-y}$, где M: Li, Na, K, Rb. Составы стекол с Li_2O обладают выраженной суперионной проводимостью и электрохромными свойствами. Между тем акустическими методами они ранее не изучались. С другой стороны, широкий набор составов позволил исследовать свойства как самой сетки стекла, так и системы подвижных ионов. Сочетание акустооптического и импульсного эхо-метода измерения поглощения звука, использованное в работе, позво-

лило существенно расширить диапазон звуковых частот $f=30 \div 1500$ МГц в интервале температур $T=10 \div 400$ К. Благодаря этому удалось выявить следующие особенности акустического поглощения сеткой α_c многокомпонентного фосфатного стекла: 1) линейную частотную зависимость α_c во всей исследованной области частот, 2) отсутствие температурной зависимости α_c вплоть до температур $T \approx 300$ К. Как удалось показать, эти особенности могут быть объяснены в рамках обобщенной модели двухуровневых дефектов. При этом низкотемпературная релаксация обусловлена процессами туннелирования. В области высоких температур поглощение сеткой стекла объясняется термоактивационными процессами при равнораспределении по энергиям активации и узком распределении энергий асимметрии ϵ потенциальных ям ($\epsilon \ll kT$). Та же модель объясняет и акустическое поглощение подвижными ионами лития в приближении гауссова распределения по энергиям активации ионов. Определена связь между параметрами ионной системы, полученными из данных по поглощению звука и электропроводности.

1. Методика измерений и результаты

Стекла были получены из реактивов высокой чистоты с электрическим нагревом при температурах 900—1200 °С. Синтез проводился на воздухе. Параметры стекол [20] даны в табл. 1. Измерения поглощения продольного

Таблица 1
Параметры исследованных стекол

№ п/п	Состав стекла, мольн.%						ρ , г · см ⁻³	T_g , К	$\sigma \cdot 10^7$, Ом ⁻¹ · см ⁻¹	
	Li ₂ O	Na ₂ O	K ₂ O	Rb ₂ O	P ₂ O ₅	Nb ₂ O ₅			300 К	400 К
1	30				30	40	3.56	910	2	
2	33.3				33.3	33.3	3.4	870	2.5	
3	35				35	30				
4	45				45	10				
5	45				30	25	3.4	831	12	
6	47.5				47.5	5	2.5	705	2.25	
7	55				32.5	12.5	2.9	739	11	
8	55				27.5	17.5	3.06	740	25	
9	50				50			535		
10		50			50			580		
11		35			35	30		865	$6 \cdot 10^{-4}$	4
12			35		35	30		920	$1.2 \cdot 10^{-1}$	$1.9 \cdot 10^{-2}$
13				35	35	30		912	$1.9 \cdot 10^{-4}$	$1.1 \cdot 10^{-2}$

и поперечного звуков проводились двумя методами. Акустооптический метод, позволяющий регистрировать большие величины поглощения (до нескольких сотен дБ/см), использовался в диапазоне $f=200 \div 1500$ МГц и при $T=100 \div 400$ К. Методика измерений подобна описанной в [21]. Низкочастотные данные были получены импульсным эхо-методом [22]. Использовались образцы размером $3.5 \times 3 \times 11$ мм. Звук возбуждался с помощью резонансных пьезопреобразователей из LiNbO₃, приклеиваемых к торцам. Температурные измерения велись в криостатах с холодным «пальцем»: азотном оптическом (до $T \approx 100$ К) и гелиевом (до $T \approx 10$ К). Данные о скорости звука в литиевых стеклах получены акустооптическим методом с погрешностью 5—10 %. В Na, K, Rb стеклах скорость измерялась методом Пападакиса [23]. Точность абсолютных измерений при этом была $\sim 10^{-3}$, относительных $\sim 10^{-5}$. Погрешность измерения коэффициента поглощения не превышала 5 %.

Данные по поглощению продольного и поперечного звуков при $f=400$ МГц приведены в табл. 2. Здесь же представлены скорости звука для соответствующих составов. Частотные зависимости коэффициентов

поглощения продольных α_L и поперечных α_T звуковых волн представлены для наиболее характерных составов соответственно на рис. 1, 2. Для остальных составов они качественно близки к приведенным на этих

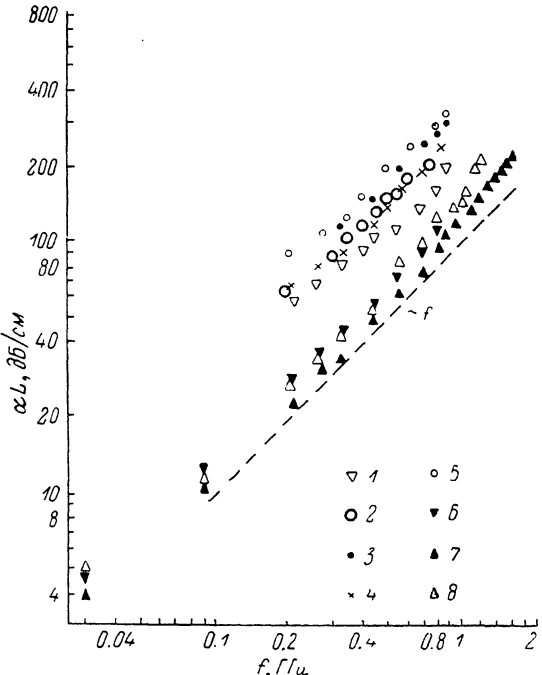


Рис. 1. Частотные зависимости коэффициентов поглощения продольного звука при $T=300$ К в стеклах (составы указаны в табл. 1) № 1 (1), № 3 (2), № 6 (3), № 7 (4), № 8 (5), № 11 (6), № 12 (7), № 13 (8).

рисунках. Обращает на себя внимание большое поглощение, особенно, в проводящих стеклах, где $\alpha_L \approx 160$, $\alpha_T \approx 330$ дБ/см при $f=400$ МГц. Для сравнения приведем данные [24] по поглощению в кварцевом стекле:

Минимальное поглощение наблюдается в стеклах, содержащих оксиды натрия, калия, рубидия. С охлаждением до $T \approx 100$ К (рис. 3, а) величина поглощения в литиевых стеклах уменьшается и становится почти такой же, как в Na, K, Rb-содержащих стеклах. При этом поглощение в последних с охлаждением практически не

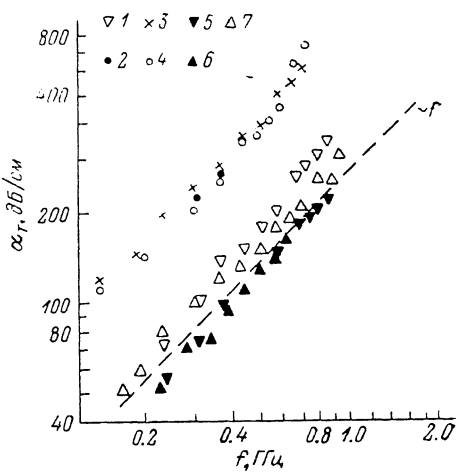


Рис. 2. Коэффициент поглощения поперечного звука при $T=300$ К в стеклах № 1 (1), № 6 (2), № 7 (3), № 8 (4), № 11 (5), № 12 (6), № 13 (7).

меняется. Частотные зависимости как продольных, так и поперечных волн для всех составов близки к линейным. Характер частотных зависимостей при охлаждении сохраняется.

2. Обсуждение результатов

Рассмотрим возможные механизмы поглощения звука, их количественное и качественное соответствие нашим данным. Все наблюдавшиеся особенности не могут быть объяснены типичным для кристаллов ахиезе-

Таблица 2

Экспериментальные данные по поглощению и скорости звука ($f=400$ МГц) в исследованных стеклах

№ п/п	$v \cdot 10^{-5}$, см · с ⁻¹		α , дБ · см ⁻¹		№ п/п	$v \cdot 10^{-5}$, см · с ⁻¹		α , дБ · см ⁻¹	
	L	T	L	T		L	T	L	T
1	7	3.4	95	130	8	7.1	3.2	160	250
2	6.3	3.3	95	180	9	5.6	—	82	—
3	—	—	105	—	10	4.6	—	85	—
4	—	—	110	—	11	4.7	2.8	55	100
5	5.7	3.9	110	230	12	4.6	2.6	45	90
6	6.8	3.7	140	260	13	4.25	2.42	55	100
7	5.6	2.9	115	330	—	—	—	—	—

ровским механизмом, отражающим взаимодействие звука с тепловыми фононами [26]. Действительно, этот механизм существен при $\omega\tau \ll 1$ ($\omega=2\pi f$, τ — время релаксации фононов). Именно этот случай, как следует из оценок τ по нашим предварительным данным о теплопроводности

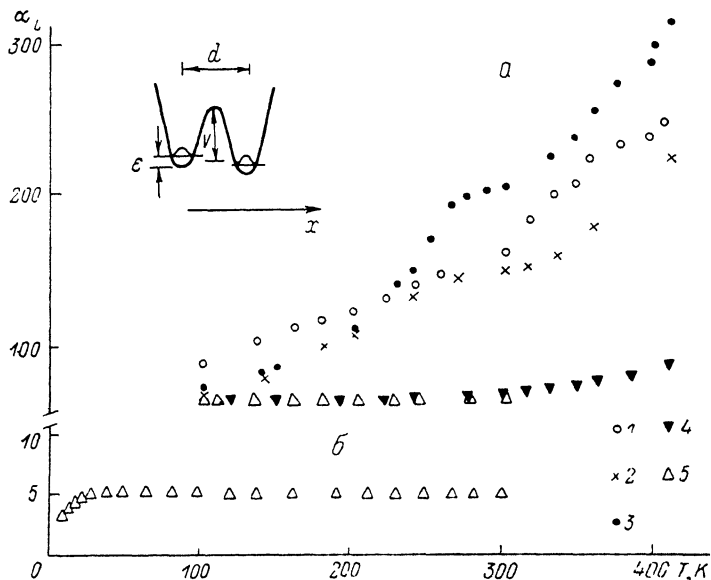


Рис. 3. Температурная зависимость коэффициента поглощения продольных волн в стеклах № 6 (1), № 7 (2), № 8 (3), № 11 (4), № 15 (5).

a — $f=470$, б — 30 МГц. На врезке — асимметричный двухъярусный потенциал.

χ и теплоемкости в исследованных стеклах, соответствует экспериментальной ситуации. Используя выражение для коэффициента поглощения [26] (здесь и далее мы будем иметь в виду коэффициент поглощения акустической мощности)

$$\alpha = 2\gamma^2 \omega^2 T \chi / \rho v^5, \quad (1)$$

где γ — константа Грюнайзена, ρ — плотность, v — скорость звука, получаем при $T=300$ К, $f=400$ МГц для рубидиевого стекла ($\chi = 0.5$ Вт · м⁻¹ · К⁻¹) $\alpha_L \approx 10^{-1}$ дБ/см. Таким образом, наблюдаемое поглощение, которое имеет линейную частотную зависимость (а не квадратичную, как следует из (1)) и которое на 2–3 порядка больше поглощения, обусловленного ангармонизмом фононной системы, является следствием специфического строения стекол.

Как видно из рис. 1, 2 и табл. 2, поглощение в литиевых стеклах примерно в два раза выше, чем в остальных. При этом проводимость в них

(табл. 1) выше на 4 порядка. Это дает основание предположить, что в этих стеклах существен вклад в поглощение $\alpha_{\text{нон}}$, обусловленный системой подвижных ионов лития. При охлаждении до $T \approx 100$ К (рис. 3, а) этот вклад вымораживается и поглощение в этих стеклах приближается к поглощению в Na, K, Rb-содержащих стеклах. Последнее, таким образом, можно принять за поглощение α_c фосфатной сеткой стекла. Этот вывод согласуется с тем, что проводимость в K, Rb-содержащих стеклах остается малой вплоть до $T \approx 400$ К. Лишь в натриевом стекле при нагреве от 300 до 400 К наблюдается заметный рост проводимости (табл. 1) и появляется дополнительное поглощение (рис. 3, а). Таким образом, поглощение в литий-ниобиевофосфатных стеклах определяется двумя вкладами, возникающими вследствие взаимодействия с фосфатной сеткой стекла, с одной стороны, и системой подвижных ионов — с другой стороны.

а) Поглощение звука сеткой стекла.

Поведение α_c в широком интервале температур исследовалось нами для продольных волн на примере рубидиевого стекла. Результаты ($T = 9.5 \div 300$ К, $f = 30$ МГц; рис. 3, б) обнаруживают любопытную особенность — в интервале температур $T = 20 \div 300$ К поглощение не зависит от температуры. Между тем в большинстве стекол (вообще аморфных материалов) в этом диапазоне температур и частот наблюдается либо рост поглощения с температурой, либо релаксационные температурные максимумы, объясняемые термоактивационными процессами с узким гауссовым распределением энергий активации [1, 10, 19]. В ряде работ [1, 9, 10] аналогичное обнаруженное нами поведение α , т. е. линейная частотная зависимость и температурное плато в поглощении, наблюдалось в области низких ($T \approx 10$ К) температур и объяснялось моделью взаимодействия звука с ДУТС. Согласно этой модели [27], аморфный материал содержит некие образования (дефекты), каждому из которых соответствуют два состояния, или конфигурации с близкими энергиями. Образованиями этими могут быть атомы, ионы, молекулы или их группы. Иначе говоря, аморфный материал рассматривается как система двухъячайных потенциалов (рис. 3, б) с некоторыми распределениями энергий асимметрии ϵ ям, расстояний между ними d , потенциальных барьеров V и, следовательно, характеризующихся определенным распределением энергий расщепления E (E складывается из ϵ и энергии туннелирования). Переходы с одного уровня на другой осуществляются благодаря туннелированию с поглощением (испусканием) акустического или теплового фонона. Существуют два вклада в поглощение. Первый — резонансный, обусловленный ДУТС, у которых $E = \hbar\omega$. Этот вклад обычно мал и проявляется при сверхнизких температурах ($T \leq 1$ К). Второй вклад — релаксационное поглощение — происходит из-за релаксации разности населенностей уровней, энергия расщепления которых модулируется звуковой волной. При этом, если $\hbar\omega \ll kT$, основной вклад дают те дефекты, у которых $E \ll kT$, а $V \gg kT$. В случае $\omega \tau_{\min}(T) \ll 1$ ($\tau_{\min}(T)$ — минимальное время релаксации ДУТС с $E \approx kT$) и равнораспределения по ϵ и параметру туннелирования λ

$$\lambda = (2mV/\hbar)^{1/2} d, \quad (2)$$

где m — масса дефекта, выражение для коэффициента релаксационного поглощения имеет вид [27]

$$\alpha = \pi B^2 \bar{P}_\omega / 4\rho v^3, \quad (3a)$$

$$\bar{P} = \frac{1}{\epsilon_{\max} \Delta \lambda} \int \int P(\epsilon, \lambda) d\epsilon d\lambda = \frac{N_0}{\epsilon_{\max} \Delta \lambda}. \quad (3b)$$

где B — константа деформационного потенциала, N_0 — полное число дефектов на единицу объема. Здесь мы пользуемся представлением о том, что двухуровневые возбуждения с функцией распределения $P(\epsilon, \lambda)$ существуют в области $\epsilon < \epsilon_{\max}$, $\lambda_{\min} < \lambda < \lambda_{\max}$, $\Delta\lambda = \lambda_{\max} - \lambda_{\min}$. Учет двухфотонных процессов [11] не меняет выражения для α .

Возможность наличия различных конфигураций структурных групп и их взаимного расположения, которые отвечают близким энергетическим состояниям в исследованных стеклах, подтверждается экспериментальными данными о длинах связей в фосфатных [$(P-O) \approx 1.57 \text{ \AA}$] и металлокислородных группах [$(Nb-O) \approx 1.78 \div 2.3 \text{ \AA}$] и о смещении полос поглощения в колебательных (ИК и КР) спектрах [28]. Поэтому воспользуемся приведенной моделью ДУТС и дадим количественные оценки согласно (За), используя результаты измерения α (рис. 3, б) при $T \approx 20 \text{ K}$. Оценить грубо B можно, используя статистическую обработку данных [29] зависимости B от температуры стеклования T_g , что дает значение $B \approx 1.2 \text{ эВ}$ для рубидиевого стекла. Значение средней плотности состояний $\bar{P} = 6 \times 10^{45} \text{ Дж}^{-1} \cdot \text{м}^{-3}$, полученное таким образом из наших данных, хорошо согласуется со значениями \bar{P} в других стеклах [29].

Рассмотренная система двухуровневых дефектов должна проявлять себя и при более высоких температурах. На это обстоятельство впервые обращено внимание в [11], где линейная частотная зависимость и температурное плато наблюдались до $T \approx 100 \text{ K}$. Для объяснения этих результатов авторы предположили, что релаксация осуществляется путем туннелирования с участием двухфононных процессов.

Однако в этой области температур, как нам кажется, более вероятными являются переходы из-за термоактивационных процессов. Преобладание их должно возрастать с повышением температуры. Поэтому именно термоактивационными процессами релаксации в системе двухуровневых дефектов мы в дальнейшем объясняем особенности поведения α_c в области температур от 30 до 300 K.

Как видно из [16], модель ДУТС ($V \gg kT$) может быть представлена как квантовое приближение обобщенной модели двухуровневых дефектов. При повышении температуры ($kT \gg V$) процесс взаимодействия звука с системой этих дефектов следует рассматривать в термодинамическом приближении, т. е. релаксацию относить на счет термоактивационных процессов. Выражение для коэффициента поглощения в таком случае имеет вид

$$\alpha = \frac{B^2}{2\rho v^3 kT} \int \int f(\varepsilon) g(V) \operatorname{sech}^2 \frac{\varepsilon}{2kT} \frac{\omega^2 \tau}{1 + \omega^2 \tau^2} d\varepsilon dV, \quad (4)$$

где $\tau = \tau_0 \exp(V/kT) \operatorname{sech}(\varepsilon/2kT)$; τ_0 — обратная частота колебаний в основном состоянии (принимается $\tau_0 = \text{const}$); $f(\varepsilon)$, $g(V)$ — соответствующие плотности состояний. Для активации эффективны барьеры, для которых V сравнимо с kT , поэтому предположение о малости асимметрии ($\varepsilon \ll V$) естественно переходит в предположение о том, что $\varepsilon \ll kT$. Тогда (4) принимает вид

$$\alpha = \frac{B^2}{2\rho v^3 kT} \int_{V_{\min}}^{V_{\max}} g(V) \frac{\omega^2 \tau}{1 + \omega^2 \tau^2} dV, \quad (5)$$

где $\tau = \tau_0 \exp(V/kT)$. Если предположить равнораспределение по V , получим

$$\alpha = \frac{B^2 g \omega}{2 \rho v^3} [\operatorname{arctg}(\omega \tau_{\max}) - \operatorname{arctg}(\omega \tau_{\min})], \quad (6a)$$

$$g = \frac{1}{\Delta V} \int_{V_{\min}}^{V_{\max}} g(V) dV = \frac{N_0}{\Delta V}, \quad \Delta V = V_{\max} - V_{\min}. \quad (6b)$$

При $\omega \tau_{\max} \gg 1$, $\omega \tau_{\min} \ll 1$ получаем выражение

$$\alpha = \pi B^2 g \omega / 4 \rho v^3, \quad (7)$$

подобное выражению (За), характеризующему поглощение системой в квантовом случае в аналогичных условиях, т. е. при $\omega \tau_{\min} \ll 1$.

Таким образом, при сделанных предположениях температурные и частотные зависимости релаксационного поглощения в квантовом и классическом случаях имеют одинаковый вид.

Используя соотношения (2), (3а), (3б), (6б) и (7) и экспериментальные данные по поглощению α_L (рис. 1 и 3, б), мы можем определить все характерные параметры системы двухуровневых дефектов: \bar{P} , \bar{g} , N_0 , ε_{\max} , $\Delta\lambda$ и ΔV . Линейная частотная зависимость наблюдается в частотном интервале $\omega = 2 \cdot 10^8 \div 10^{10} \text{ с}^{-1}$, независимость от температуры — для $T = 30 \div 300 \text{ К}$, т. е. в этом диапазоне частот и температур справедливо выражение (7). Используя приведенную ранее оценку для B , получаем значение $\bar{g} = \bar{P} = 6 \cdot 10^{45} \text{ Дж}^{-1} \cdot \text{м}^{-3}$. Полагая $\tau_0 = 10^{-13} \text{ с}$ [27], из требования справедливости (7), т. е. $\omega_{\max} \tau_{\min} \ll 1$, $\omega_{\min} \tau_{\max} \gg 1$, получаем оценку $V_{\min} \ll 0.02 \text{ эВ}$, $V_{\max} \gg 0.3 \text{ эВ}$, что на основании (6б) дает значение кон-

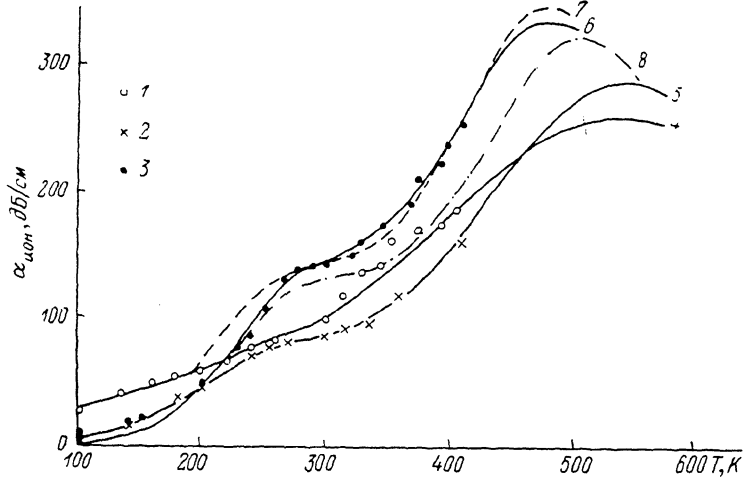


Рис. 4. Экспериментальная температурная зависимость ионной компоненты поглощения продольного звука в литийсодержащих стеклах № 6 (1), № 7 (2), № 8 (3).

4—8 — расчет с соответствующими параметрами: 4—6 — из табл. 3; для состава № 8 из табл. 3 с соответствующими изменениями: 7 — ($V_{m1} - 0.025V_{m1}$), ($V_{o1} + 0.07V_{o1}$), ($V_{o2} + 0.14V_{o2}$); 8 — ($V_{m1} + 0.05V_{m2}$).

центрации дефектов $N_0 \gg 2.6 \cdot 10^{20} \text{ см}^{-3}$. Теперь можно оценить ε_{\max} . Учитывая экспериментальные данные о длинах связей в наших стеклах [28], можно принять $d \approx 2 \text{ \AA}$. Тогда, согласно (2), имея в виду, например, атом кислорода, получаем оценку для диапазона возможных значений параметра туннелирования $\Delta\lambda \gg 9$, что соответствует $\Delta V \gg 0.3 \text{ эВ}$. Отсюда на основании (3б) и вычисленного \bar{P} получаем $\varepsilon_{\max} \ll 2 \cdot 10^{-2} \text{ эВ}$, что подтверждает правомочность исходного предположения относительно малости асимметрии двухъяденных потенциалов ($\varepsilon \ll kT$) в исследованной системе стекол. Таким образом, показано: 1) модель двухуровневых дефектов, основанная на модели, предложенной в [16], пригодна для описания взаимодействия звука с сеткой многокомпонентного фосфатного стекла; 2) система дефектов в этих материалах удовлетворительно описывается моделью глубоких двухъяденных потенциалов с малой асимметрией.

б) Поглощение звука подвижными ионами. Ионное поглощение звука исследовалось нами подробно для литиевых стекол трех составов с различной электропроводностью. Температурная зависимость коэффициента $\alpha_{\text{ион}}$ ионного поглощения (рис. 4) получена из температурной зависимости полного поглощения α_L (рис. 3) путем вычитания не зависящей от температуры части α_c , численно равной α_L для рубидиевого стекла. Для описания взаимодействия ионной системы со звуком использовалась модель глубоких двухъяденных потенциалов с малой асимметрией в приближении гауссова распределения энергий активации подвижных ионов. Вычисляя с помощью формулы (5) $\alpha_{\text{ион}}(T)$, можно установить, при

Таблица 3
Параметры ионной системы литиевых стекол

№ п/п	$\tau_0 \cdot 10^{-13}$ с	$N_{\text{ио}} \cdot 10^{21} \text{ см}^{-3}$	F	V_{m1}	V_{m2}	V_{01}	V_{02}	$\sigma \cdot 10^7, \text{ Ом}^{-1} \cdot \text{см}^{-1}$	$V_c, \text{ эВ}$	N
				эВ						
6	3.1	2.9	0.23	0.19	0.35	0.085	0.07	2.25	0.37	$0.3 N_0$
7	2.5	3.3	0.17	0.19	0.35	0.05	0.05	11	0.365	N_0
8	1.86	3.3	0.23	0.195	0.325	0.037	0.035	26	0.34	$0.7 N_0$

каких параметрах ионной системы (наиболее вероятной энергии активации V_m , ширине распределения V_0 и др.) эта зависимость лучше всего согласуется с экспериментальной (рис. 4).

Такой расчет проводился ранее в [19] при обсуждении поглощения звука ионами серебра в боратных стеклах, где $\alpha_{\text{ион}}(T)$ имела простой колоколообразный вид с одним максимумом. В нашем случае на экспериментальной зависимости $\alpha_{\text{ион}}(T)$ (рис. 4) при 300 К для всех составов наблюдается участок в виде плато, а затем дальнейшее возрастание с температурой, как если бы существовали два типа дефектов с двумя различными наиболее вероятными энергиями активации. Поэтому при численной обработке данных в формулу (5) нами подставлялась более сложная функция распределения $g(V)$, представляющая собой сумму двух гауссовых распределений

$$g(V) = \frac{1}{(2\pi)^{1/2}} \left\{ \frac{FN}{V_{01}} \exp \left[-\frac{(V - V_{m1})^2}{2V_{01}^2} \right] + \frac{(1-F)N}{V_{02}} \exp \left[-\frac{(V - V_{m2})^2}{2V_{02}^2} \right] \right\}. \quad (8)$$

Результаты расчета даны сплошными кривыми на рис. 4. Величина деформационного потенциала принималась такой же, как и для сетки стекла ($B=1.2$ эВ); $N=N_0$ — полная концентрация ионов, согласно составу (табл. 1). Значения подгоночных параметров F, τ_0 , V_0 и V_m указаны в табл. 3. Чувствительность такого расчета к изменению параметров достаточно велика, что можно видеть на рис. 4, где кривыми 7, 8 представлен расчет температурных зависимостей поглощения с отклоненными от оптимальных (табл. 3) параметрами ($\tau_0=0.1 \tau_0$), ($V_{m1}=0.025 V_{m1}$), ($V_{01}+0.07 V_{01}$), ($V_{02}+0.14 V_{02}$) и ($V_{m2}+0.05 V_{m2}$) соответственно.

Таким образом, из данных об ионном поглощении звука следует, что для ионов Li характерно наличие двух различных конфигураций, описываемых двухъярусным потенциалом с энергетическими барьерами, сгруппированными вокруг энергий V_{m1} и V_{m2} . Величины максимумов V_{m1} и V_{m2} и ширина распределения энергий активации ионов лития V_{01} и V_{02} зависят от состава стекол. Следует отметить, что существенную роль при этом играет концентрация не только ионов лития, но и ионов ниобия. Как видно из таблиц 1, 3, увеличение концентрации ниobia приводит к уменьшению V_{m2} .

Какова природа этих двух конфигураций? Со структурной точки зрения исследуемые стекла можно рассматривать как смесь соединений типа LiPO_3 , LiNbO_3 и Li_2O в разных пропорциях. Относительно одного из этих соединений LiNbO_3 точно известно [30], что состояние иона лития в нем действительно описывается двухъярусным потенциалом, который при температуре выше фазового перехода становится симметричным. Расстояние между минимумами порядка 1 Å. Относительно структуры LiPO_3 точных данных нет. Но если предположить, что и здесь ион лития может находиться в двух близких по энергии состояниях, то естественно связать систему дефектов с V_{m1} со структурными группами типа LiNbO_3 (их процентное содержание меньше), а дефекты с V_{m2} отнести на счет групп LiPO_3 .

Частотная зависимость ионного поглощения, как видно из рис. 5, близка к линейной. Расчет (сплошная кривая), согласно (5) и (8), с ис-

пользованием данных табл. 3 дает хорошее согласие с экспериментом. Как и в случае $\alpha_c(\omega)$, такой характер частотной зависимости качественно объясняется широким распределением энергий активации и соответственно времен релаксации. Действительно, при релаксационном механизме основной вклад в поглощение дает взаимодействия с теми ионами, для которых $\omega\tau \approx 1$. Чем шире распределение τ , тем шире диапазон частот и температур, для которого находятся группы ионов, удовлетворяющие этому соотношению. Это и приводит к линейной частотной зависимости.

Естественно попытаться установить связь между параметрами ионной системы, полученными из акустических измерений, и теми, которые можно

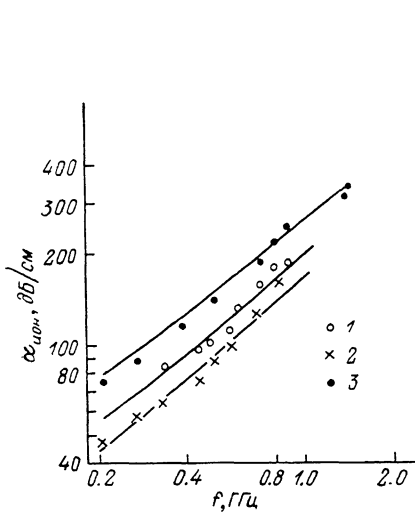


Рис. 5. Частотная зависимость ионной компоненты поглощения продольных волн для стекол № 6 (1), № 7 (2), № 8 (3).

Сплошные кривые — расчет с соответствующими параметрами из табл. 3.

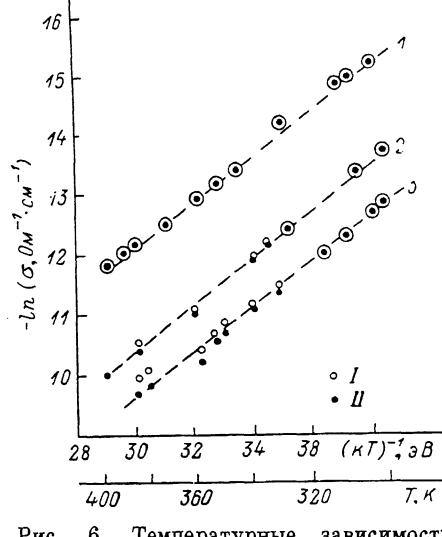


Рис. 6. Температурные зависимости электропроводности для составов № 6 (1), № 7 (2), № 8 (3).

Измерения велись на частоте 100 (I) и 1000 Гц (II).

получить из измерений ионной проводимости σ ($\sigma = eN\mu$, где e — заряд иона, N — концентрация подвижных ионов, μ — их подвижность). Для того чтобы найти μ , воспользуемся соотношением Эйнштейна

$$D = \frac{kT}{e} \mu. \quad (9)$$

В случае неупорядоченных процессов коэффициент диффузии определяется выражением

$$D = a^2/6\tau^*. \quad (10)$$

где a — длина прыжка, τ^* — время жизни иона. Из (9) и (10) для σ следует

$$\sigma = e^2 a^2 N / 6\tau^* kT. \quad (11)$$

Предполагая, что распределение времен релаксации определяется законом Аррениуса с наибольшей вероятной энергией активации V_c , т. е. $\tau^* = \tau_0^* \exp(V_c/kT)$, получаем выражение для проводимости ионов

$$\sigma = \frac{e^2 a^2 N}{6\tau_0^* kT} \exp\left(-\frac{V_c}{kT}\right). \quad (12)$$

Температурная зависимость электропроводности исследованных составов стекол измерялась нами на переменном токе частотой 100 и 1000 Гц с помощью универсального моста (Е7-11). Результаты измерений (рис. 6) показывают слабую зависимость σ от частоты. Следовательно, близкую величину имеет проводимость и на постоянном токе. С другой стороны,

видно, что проводимость действительно имеет активационный характер. Значения V_c , полученные обработкой результатов измерений с помощью формулы (12), представлены в табл. 3.

Поскольку и в проводимости, и в поглощении звука участвуют одни и те же ионы (лития), то в качестве τ_0^* в (12) можно подставить τ_0 , определенное из поглощения звука (табл. 3). Используя величины V_c и σ из той же таблицы и полагая длину прыжка иона $\approx 1 \text{ \AA}$, получаем для концентрации N подвижных ионов для каждого из составов значения, приведенные также в табл. 3. Видно, что для составов № 7 и 8 они близки к N_0 , а для состава № 6 различие более существенное. Это, по-видимому, указывает на то, что в составах с малым содержанием Nb не все ионы лития могут принимать участие в проводимости.

Обсудим физический смысл энергетических барьеров, полученных из измерений поглощения звука, с одной стороны, и проводимости — с другой. В [19] для определения длины прыжка иона в формулу (12) подставляется в качестве V_c величина «акустического» барьера (температурная зависимость проводимости в [19] не измерялась). Правомочность этого подхода вызывает сомнения. Дело в том, что модель двухъямных потенциалов, хорошо объясняющая результаты акустических измерений, исходит из изолированности дефектов, т. е. предполагает взаимодействие звука с ионами, совершающими локальные переходы внутри некоторой нейтральной ячейки. При сквозной проводимости ионы переходят из одной ячейки в другую, что требует от них преодоления барьера протекания. Очевидно, что порог для сквозной проводимости должен быть выше «акустических» барьеров V_{m1} и V_{m2} , что и наблюдается нами на эксперименте.

Таким образом, исследование распространения звука в многокомпонентных фосфатных стеклах показало, что в этих стеклах поглощение звука в широком диапазоне частот и температур определяется взаимодействием с системой двухуровневых дефектов, характеризующей неупорядоченность структуры стекла. При этом данные о коэффициенте поглощения, соответствующие как низкотемпературной, так и высокотемпературной областям, дают обширную информацию о параметрах сетки стекла и подвижных ионов в проводящих стеклах. В частности, они позволяют определить как концентрацию дефектов, так и энергетические характеристики соответствующих им двухъямных потенциалов.

В заключение авторы выражают благодарность В. Л. Богданову и Е. Б. Федорушковой за предоставление образцов стекол, Ю. М. Гальперину и В. Д. Кагану за полезные обсуждения.

Л и т е р а т у р а

- [1] Hunklinger S., Arnold W. Physical Acoustics / Ed. W. P. Mason., R. N. Thurston. Acad. N. Y., 1976, vol. 12, p. 155–215.
- [2] Zeller R. C., Pohl R. O. Phys. Rev. B, 1971, vol. 4, N 6, p. 2029–2041.
- [3] Heinike W., Winterling G. W., Drasfeld K. J. Acoust. Soc. Am., 1971, vol. 49, N 3, pt 3, p. 954–958.
- [4] Stephens R. B. Phys. Rev. B, 1973, vol. 8, N 6, p. 2896–2905.
- [5] Krause J. T. J. Appl. Phys., 1971, vol. 42, N 8, p. 3035–3037.
- [6] Anderson W. P., Halperin B. I., Warma C. M. Phil. Mag., 1972, vol. 25, N 1, p. 1–9.
- [7] Phillips W. A. J. Low Temp. Phys., 1972, vol. 7, N 3/4, p. 351–365.
- [8] Krause J. T., Kurkjian C. R., Pinnow D. A., Sigit E. A. Appl. Phys. Lett., 1970, vol. 17, N 9, p. 367–368.
- [9] Prieur J. Y., Ciply D. XVI Int. Conf. Low Temp. Phys. (L. T. 15) U. C. L. A. Los Angeles, U. S. A., August 1981.
- [10] Ciply D., Prieur J. Y. J. Phys. (Paris) Coll. C6 suppl., 1981, vol. 42, N 6, p. 184–186.
- [11] Doussineau P., Frenois C., Leisure R. G. et al. J. Phys. (Paris), 1980, vol. 41, N 10, p. 1193–1211.
- [12] Fleurov V. N., Trakhtenberg L. I. J. Phys. C., 1986, vol. 19, N 28, p. 5529–5553.
- [13] Карпов В. Г., Паршин Д. А. ЖЭТФ, 1985, т. 88, № 6, с. 2212–2227.
- [14] Клингер М. И., Карпов В. Г. ЖЭТФ, 1982, т. 82, № 5, с. 1687–1703.
- [15] Ng D., Sladek R. J. Phys. Rev. B, 1975, vol. 11, N 10, p. 4017–4029.
- [16] Jäckle J., Piche L., Arnold W., Hunklinger S. J. Non. Cryst. Sol., 1976, vol. 20, N 3, p. 365–391.
- [17] Duquesne J. Y., Belessa G. J. Non. Cryst. Sol., 1986, vol. 81, N 28, p. 319–336.

- [18] Vacher R., Pelous J., Plicque F., Zazembowitch A. J. Non. Cryst. Sol., 1981, vol. 45, N 3, p. 397—411.
- [19] Carini G., Catroni M., Federico M., Galli G., Tripodo G. Phys. Rev. B, 1984, vol. 30, N 12, p. 7219—7224.
- [20] Богданов В. Л., Кулакова Л. А., Федорушкова Е. Б. Материалы II Всес. семинара-совещания «Механизмы релаксационных процессов в стеклообразных системах». Улан-Удэ, 1985.
- [21] Дьяконов А. М., Илисавский Ю. В., Кулакова Л. А. ФТТ, 1972, т. 14, № 1, с. 95—103.
- [22] Труэлл Р., Элбаум Ч., Чик Б. Ультразвуковые методы в физике твердого тела. М.: Мир, 1972. 304 с.
- [23] Papadakis E. P. J. Acoust. Soc. Am., 1967, vol. 42, N 5, p. 1045—1051.
- [24] Krischer C. J. Acoust. Soc. Am., 1970, vol. 48, N 5 pt 2, p. 1086—1092.
- [25] Ахиезер А. ИЭТФ, 1938, т. 8, № 12, 1318—1329.
- [26] Woodruff T. O., Ehrenreich H. E. Phys. Rev., 1961, vol. 123, N 5, p. 1553—1559.
- [27] Jäckle J. Z. Physik, 1972, vol. 257, N 3, p. 212—223.
- [28] Богданов В. Л., Федорушкова Е. Б., Януш А. М., Бровченко В. Г. Материалы Всес. конф. «Фосфаты-87». Ташкент, 1987.
- [29] Reichert U., Schmidt M., Hunklinger S. Sol. St. Commun., 1986, vol. 57, N 5, p. 315—318.
- [30] Samara G. A. Ferroelectrics, 1987, vol. 73, N 1, p. 145—149.

Физико-технический институт
им. А. Ф. Иоффе АН СССР
Ленинград

Поступило в Редакцию
26 апреля 1988 г.